

طراحی کنترل کننده مد لغزشی مبتنی بر شبکه عصبی برای سیستم غیرخطی ژيروسکوپ آشوبناک

علی فروتن^{۱*}، علیرضا صفا^۲

۱- دانشجوی کارشناسی ارشد مهندسی برق، دانشکده مهندسی، دانشگاه گلستان، گرگان، ایران، a.foroutan400@stu.gu.ac.ir

۲- استادیار گروه مهندسی برق، دانشکده مهندسی، دانشگاه گلستان، گرگان، ایران، a.safa@gu.ac.ir

چکیده

سیستم ژيروسکوپ، یک سیستم غیرخطی جذاب است که در صنایع مختلف نظامی، هوا و فضا، ناوبری و بسیاری دیگر از صنایع کاربرد دارد. با توجه به اهمیت و کاربردهای سیستم غیرخطی ژيروسکوپ، طراحی سیستم کنترل برای بهره‌برداری از سیستم ژيروسکوپ، از اهمیت ویژه‌ای برخوردار است. اکثر سیستم‌ها در دنیای واقعی، دارای دینامیک غیرخطی می‌باشند و جلوگیری از اثرات مخرب نویز و اغتشاش‌های خارجی غیرقابل پیش‌بینی اجتناب‌ناپذیر است. نامعینی‌های غیرخطی در دینامیک ژيروسکوپ، نویز و اغتشاش‌های خارجی غیرقابل پیش‌بینی، چالش بزرگ در طراحی کنترل کننده به شمار می‌روند. از کنترل کننده مد لغزشی به دلیل مقاوم بودن در مقابل نامعینی‌های دینامیک سیستم و اغتشاش‌های وارد بر سیستم، به طور گسترده در کنترل سیستم‌های غیرخطی استفاده می‌گردد. در این مقاله رفتار دینامیکی سیستم غیرخطی ژيروسکوپ مورد تجزیه و تحلیل قرار گرفته و از کنترل کننده مد لغزشی مبتنی بر شبکه عصبی برای کنترل سیستم ژيروسکوپ استفاده می‌شود. پایداری سیستم غیرخطی ژيروسکوپ با استفاده از تئوری لیاپانوف اثبات می‌گردد. برای بررسی رفتار سیستم کنترلی پیشنهادی و مقایسه با سایر کنترل کننده‌ها، مدل غیرخطی ژيروسکوپ در سیمولینک متلب، شبیه‌سازی می‌شود و کارآمدی روش کنترلی پیشنهادی در کنترل بهینه سیستم غیرخطی ژيروسکوپ مورد بررسی قرار می‌گیرد.

واژه های کلیدی: سیستم ژيروسکوپ - کنترل مد لغزشی - شبکه عصبی

۱- مقدمه

سیستم ژيروسکوپ، یک سیستم غیرخطی جذاب و کارآمد است که در دهه‌های اخیر با توجه به کاربردهای این سیستم، مطالعه بر روی دینامیک پیچیده ژيروسکوپ به موضوعی جذاب برای مهندسان کنترل و هوا و فضا تبدیل شده است. از سیستم ژيروسکوپ برای اندازه‌گیری زاویه و سرعت زاویه‌ای اجسام متحرک در طیف گسترده‌ای از صنایع نظیر هوا و فضا، نظامی، ناوبری، خودروسازی، پزشکی مورد استفاده قرار می‌گیرد به همین دلیل سیستم ژيروسکوپ از اهمیت ویژه‌ای برخوردار است. دینامیک بسیاری از سیستم‌های صنعتی دارای غیرخطی‌های فراوانی است که موجب چالش در طراحی کنترل کننده می‌شود. سیستم ژيروسکوپ یک حسگر کلیدی در سامانه‌های مدرن به حساب می‌آید. سیستم ژيروسکوپ، دستگاهی است که بر روی یک چهارچوب^۱ قرار گرفته و با چرخش

چهارچوب می‌تواند سرعت زاویه‌ای را حس نماید. ژيروسکوپ‌ها می‌توانند به‌تنهایی یا در سامانه‌های پیچیده‌ای نظیر قطب‌نمای گردش سنج^۲، واحد اندازه‌گیری اینرسی^۳، سیستم ناوبری اینرسی^۴ سامانه مرجع سمت و تراز^۵ استفاده شوند. واحد اندازه‌گیری اینرسی شامل ژيروسکوپ و شتاب‌سنج پیشرفته می‌شود که قادر به اندازه‌گیری سرعت و شتاب خودرو است. یکی از کاربردهای اصلی حسگرهای شتاب‌سنج و حسگرهای سنجش سرعت زاویه‌ای در فضا می‌باشد این در حالی است که اخیراً از سیستم ژيروسکوپ در مریخ‌نورد استفاده می‌شود [۱]. ژيروسکوپ‌ها با توجه به فناوری ساختاری به ژيروسکوپ‌های مکانیکی^۶، سامانه‌های میکرو الکترومکانیکی^۷، فیبر نوری^۸ دسته‌بندی می‌شوند. از قرن نوزدهم، ژيروسکوپ‌های مکانیکی، به عنوان حسگرهای جابه‌جایی و سرعت توسعه یافتند. ژيروسکوپ میکرو الکترومکانیکی، حسگرهای حرکتی هستند که سرعت حرکت زاویه‌ای یک جسم را حول محور خاص اندازه‌گیری می‌کند. از این دسته از ژيروسکوپ‌ها در لوازم الکتریکی خودرو، صنایع دفاعی، پزشکی مورد استفاده قرار می‌گیرند [۲]. از مزایای سیستم ژيروسکوپ می‌توان به مصرف انرژی پایین، پیاده‌سازی ساده و هزینه کم اشاره نمود. در دهه اخیر کنترل سیستم‌های آشفته به مسئله مهمی تبدیل شده است. در سالیان اخیر چن^۹ به تجزیه و تحلیل رفتار دینامیکی یک سیستم ژيروسکوپ متقارن با میرایی خطی و غیرخطی پرداخته است که تحت برآشفتگی هارمونیک^{۱۰} قرار داشت [۳]. حرکت آشوبناک در سیستم ژيروسکوپ برای اولین بار در سال ۱۹۸۱ ارائه شد. در سال ۱۹۹۶ چن و همکاران دینامیک غیرخطی یک ژيروسکوپ متقارن و سنگین نصب شده بر روی یک پایه مرتعش را مورد بررسی قرار دادند و در مورد حرکت‌های آشفته سیستم ژيروسکوپ با میرایی خطی بحث کردند [۴]. در سال ۲۰۰۱ حرکت سیستم ژيروسکوپ متقارن که تحت برآشفتگی هارمونیک قرار می‌گیرد مورد بررسی قرار گرفت [۵]. در سال ۲۰۰۲ چن حرکت غیرخطی یک سیستم ژيروسکوپ متقارن را با میرایی غیرخطی بررسی کرد. حرارت، تغییر پارامترهای سیستم با زمان، نویز مکانیکی، نویز مداری حسگر می‌توانند عملکرد و پایداری سیستم ژيروسکوپ را دچار اختلال نمایند. در سال ۲۰۱۵ ژانگ^{۱۱} و همکاران سعی در کاهش نویز در

² Gyrocompass

³ Inertial Measurement Unit

⁴ Inertial Navigation System

⁵ Attitude Heading Reference System

⁶ Mechanical Gyroscope

⁷ Micro Electro Mechanical Systems

⁸ Fibre Optic Gyroscope

⁹ Chen

¹⁰ Harmonic

¹¹ Zhang

¹ Frame

مصنوعی با آموزش و تنظیم مکرر وزن‌ها حاصل می‌گردد. الگوریتم بهینه‌سازی با استفاده از روش گرادیان نزولی پیاده‌سازی می‌شود. معماری شبکه عصبی با تعداد لایه‌ها، تعداد نورون‌های هر لایه، ارتباط‌های میان نورون‌ها توصیف می‌گردد [۲۰].

با توجه به پیشرفت‌های اخیر در زمینه هوش مصنوعی و شبکه عصبی، از شبکه عصبی در کنترل تطبیقی سامانه‌های دارای دینامیک غیرخطی استفاده می‌گردد. شبکه‌های عصبی ابزار دقیق برای تخمین دینامیک غیرخطی با پارامترهای نامعین و توابع غیرخطی پیچیده هستند. در دهه‌های اخیر پیشرفت‌های بسیاری در زمینه شناسایی و کنترل سیستم‌های غیرخطی در حضور نامعینی‌ها به دست آمده است. اخیراً از شبکه‌های عصبی برای تخمین برخط اغتشاش‌های نامعین و طراحی روتگر تطبیقی استفاده می‌شود. هدف اصلی از کنترل، دستیابی به عملکرد مناسب سیستم کنترل در حضور نامعینی‌ها، نویز، اغتشاش‌های خارجی وارد بر سیستم می‌باشد. در دهه‌های گذشته دستاورد و پیشرفت‌های زیادی در زمینه طراحی کنترل‌کننده به دست آمده است که کنترل مقاوم، کنترل تطبیقی، کنترل مد لغزشی و کنترل مبتنی بر شبکه عصبی برخی از این پیشرفت‌ها می‌باشند. نامعینی‌های غیرخطی در دینامیک ژيروسکوپ و اغتشاش‌های خارجی غیرقابل پیش‌بینی، چالش بزرگ در طراحی کنترل‌کننده می‌باشند. کنترل‌کننده مد لغزشی دارای ویژگی‌های جذابی نظیر مقاوم بودن در برابر تغییرات پارامترهای سیستم و عدم حساسیت به اغتشاش‌ها می‌باشد. هدف از این مقاله، نوآوری در طراحی کنترل‌کننده مد لغزشی و ادغام با شبکه عصبی برای تخمین دینامیک ژيروسکوپ برای دستیابی به عملکرد کنترلی بهینه در کنترل سیستم ژيروسکوپ با دینامیک پیچیده و در حضور نامعینی‌ها و تغییرات پارامترهای دینامیکی سیستم باگذشت زمان می‌باشد. از تئوری لیاپانوف^{۱۷} برای اثبات تضمین پایداری سیستم ژيروسکوپ استفاده می‌شود. کنترل تطبیقی پیشنهادی منجر به پایداری سیستم غیرخطی ژيروسکوپ می‌شود و با جلوگیری از اثرات مخرب اغتشاش‌های غیرقابل پیش‌بینی خارجی وارد بر سیستم منجر به بهبود عملکرد سیستم کنترلی خواهد شد. در بخش دوم این مقاله، دینامیک غیرخطی سیستم ژيروسکوپ توصیف می‌گردد و در بخش سوم کنترل‌کننده مد لغزشی مبتنی بر شبکه عصبی طراحی می‌شود و با استفاده از تابع لیاپانوف، پایداری سیستم ژيروسکوپ تضمین می‌گردد. در بخش چهارم مدل ژيروسکوپ در سیمولینک متلب شبیه‌سازی می‌شود و نتایج بررسی می‌شوند. در بخش پنجم نتیجه‌گیری شرح داده می‌شود و در بخش ششم مراجع مورد استفاده در این مقاله پیوست می‌گردند.

۲- دینامیک غیرخطی ژيروسکوپ

معادلات حرکت یک سیستم غیرخطی ژيروسکوپ متقارن^{۱۸} تعبیه شده بر روی یک پایه مرتعش، با استفاده از زوایای اوایلر (θ) ، (ϕ) و گردش (ψ) توصیف می‌شود. با استفاده از روش اوایلر-لاگرانژ خواهیم داشت [۴]:

سیستم‌های ژيروسکوپ میکرو الکترومکانیکی داشتند [۶]. در سال ۲۰۱۶ توسط سان^{۱۲} و همکاران یک ساختار نوین از فرکانس خروجی رزونانس ژيروسکوپ ارائه شد [۷]. در سال ۲۰۱۹ ایسکاکوف^{۱۳} و همکاران تأثیر میرایی خطی و غیرخطی بر روی ارتعاشات غیرخطی رتور عمودی ژيروسکوپ را مورد بررسی قرار دادند [۸]. افزایش ناگهانی انرژی تشدید می‌تواند موجب آسیب رسیدن به سیستم مکانیکی شود که در سال ۲۰۱۷ با تعیین حالت‌های تشدید در دینامیک غیرخطی سیستم، پیش‌بینی تبادل انرژی با دامنه ارتعاشات ممکن می‌شود [۹]. در سالیان اخیر روش‌های کنترلی متنوعی برای افزایش عملکرد سیستم ژيروسکوپ و مقاوم بودن در مقابل نویز و اغتشاش‌های وارد بر سیستم پیشنهاد شده‌اند [۱۰]. در سال ۲۰۰۸ یک طرح کنترلی فازی مد لغزشی برای کنترل سیستم غیرخطی ژيروسکوپ با نامعینی‌ها و اغتشاش‌های خارجی وارد بر سیستم ارائه گردید [۱۱]. در سال ۲۰۱۸ یک طرح کنترلی تطبیقی با روش خطی‌سازی بازخورد خروجی^{۱۴} برای کنترل سیستم دو درجه آزادی ژيروسکوپ طراحی شد [۱۲]. در سال ۲۰۱۱ یک طرح کنترلی تطبیقی ترمینال فازی مد لغزشی برای دسته‌ای از سیستم‌های غیرخطی چند ورودی چند خروجی ارائه گردید [۱۳]. در سال ۲۰۱۸ وانگ^{۱۵} و همکاران به بررسی همگام‌سازی مد لغزشی مرتبه کسری پرداختند [۱۴]. کنترل‌کننده‌های مرتبه کسری به دلیل انعطاف پذیری بالا، توجه زیادی را در مهندسی به خود جلب کرده‌اند. در سال ۲۰۱۸ ارتباط امن با استفاده از کنترل‌کننده مد لغزشی تطبیقی بهینه توسط نادری و همکاران مورد مطالعه قرار گرفت [۱۵]. در سال ۲۰۱۷ یک کنترل‌کننده مد لغزشی تطبیقی نوین برای همگام‌سازی سیستم‌های آشفته در حضور اغتشاش و نویز مورد بررسی قرار گرفت [۱۶]. در سال ۲۰۱۹ یک کنترل‌کننده مد لغزشی تطبیقی کسری برای همگام‌سازی سیستم‌های آشفته ارائه شد [۱۷]. در سال ۲۰۱۸ یک استراتژی تثبیت‌کننده مد لغزشی تطبیقی فازی مقاوم برای سیستم‌های آشفته مرتبه کسری ارائه شد [۱۸]. در سال ۲۰۱۹ یک کنترل‌کننده مد لغزشی پسگام فازی مرتبه کسری برای ژيروسکوپ میکرو الکترومکانیکی سه محوره طراحی شد [۱۹]. در دهه اخیر مطالعات زیادی توسط محققان در مورد کنترل هوشمند سیستم‌های غیرخطی با استفاده از شبکه‌های عصبی انجام شده است. شبکه‌های عصبی مصنوعی یک سیستم پردازش اطلاعات غیرخطی تطبیقی می‌باشند. یک شبکه عصبی مصنوعی شامل مجموعه‌ای از واحدهای پردازشی می‌باشند که به آنها نورون می‌گویند. نورون‌ها با یکدیگر در ارتباط هستند و هر نورون یک تابع تبدیل می‌باشد. از سال ۱۹۸۰ تحقیقات بر روی شبکه‌های عصبی مصنوعی پیشرفت چشمگیری داشته است. عملکرد شبکه عصبی به تعداد نورون‌ها باشد وابسته می‌باشد. اگر تعداد نورون‌ها کم باشد منجر به عملکرد تخمین ضعیف می‌شود و در صورتی که تعداد نورون‌ها زیاد انتخاب شوند شبکه عصبی با مشکل بیش برآزش^{۱۶} مواجه می‌شود. معماری یک شبکه عصبی مصنوعی با تمام اتصال‌های شبکه و تابع تبدیل‌های نورون‌ها تعیین می‌شوند. فرآیند یادگیری در شبکه عصبی

¹² Sun

¹³ Iskakov

¹⁴ Output Feedback Linearization

¹⁵ Wang

¹⁶ Overfitting Problem

¹⁷ Lyapunov Theory

¹⁸ Symmetric

$$\ddot{\theta} + \alpha^2 \frac{(1 - \cos(\theta))^2}{\sin^3(\theta)} - \beta \sin(\theta) + c_1 \dot{\theta} \quad (12)$$

در رابطه (۹) $c_1 \dot{\theta}$ و $c_2 \ddot{\theta}$ به ترتیب میرایی^{۲۳} خطی و غیرخطی می‌باشند. در رابطه (۱۲) $f \sin \omega t$ پارامتر برآشفتگی^{۲۴} می‌باشد. برای دستیابی به معادلات فضای حالت سیستم ژيروسکوپ، متغیرهای حالت سیستم را به صورت $\theta := x_1$ و $\dot{\theta} := x_2$ در نظر می‌گیریم و بردار حالت‌های سیستم ژيروسکوپ $x := [x_1, x_2]^T$ تعریف می‌شود.

$$g(x) = -\alpha^2 \frac{(1 - \cos(x))^2}{\sin^3(x)} \quad (13)$$

$$L(x) = \beta \sin(x) + f \sin(\omega t) \sin(x) \quad (14)$$

معادلات فضای حالت نرمالیزه شده سیستم ژيروسکوپ به صورت زیر بیان می‌گردد.

$$\begin{cases} \dot{x}_1 = x_2 \\ \dot{x}_2 = g(x) - c_1 x_2 - c_2 x_2^3 + L(x_1) \end{cases} \quad (15)$$

رابطه (۱۵) فضای حالت سیستم پیشرو^{۲۵} می‌باشد. با جای‌گذاری حالت‌های سیستم پیرو در روابط (۱۳) و (۱۴) خواهیم داشت:

$$g(y_1) = -\alpha^2 \frac{(1 - \cos y_1)^2}{\sin^3 y_1} \quad (16)$$

$$L(y_1) = \beta \sin(y_1) + f \sin(\omega t) \sin(y_1) \quad (17)$$

$$\mu(t) = \rho(t) + u(t) \quad (18)$$

برای توصیف سیستم غیرخطی ژيروسکوپ در دنیای واقعی فرض می‌شود که پاسخ ژيروسکوپ شامل اغتشاش‌های خارجی $\rho(t) \in R$ باشد. اغتشاش‌های خارجی به صورت زیر محدود می‌شود:

$$|\rho(t)| \leq \sigma(t) \in R^+ \quad (19)$$

رابطه (۲۰) فضای حالت سیستم ژيروسکوپ آشفته کنترل شده پیرو را نشان می‌دهد که \mathcal{Y}_1 و \mathcal{Y}_2 متغیرهای فضای حالت سیستم می‌باشند.

$$\begin{cases} \dot{y}_1 = y_2 \\ \dot{y}_2 = g(y_1) - c_1 y_2 - c_2 y_2^3 + L(y_1) + \mu(t) \end{cases} \quad (20)$$

سیگنال کنترلی $u(t) = [u_1(t), u_2(t)]^T$ برای همگام سازی به سیستم پیرو افزوده شده است که توسط کنترل‌کننده مد لغزشی مبتنی بر شبکه عصبی برای کنترل سیستم ژيروسکوپ تعیین می‌گردند. خطای متغیرهای حالت همگام سازی بین سیستم‌های (۱۵) و (۲۰) از رابطه زیر حاصل می‌گردد:

$$e_k(t) = y_k(t) - x_k(t), \quad k = 1, 2 \quad (21)$$

دینامیک خطای سیستم به صورت زیر توصیف می‌شود:

$$\begin{cases} \dot{e}_1 = e_2 \\ \dot{e}_2 = -c_1 e_2 + \alpha^2 g(x_1, y_1) + \gamma + \epsilon(t) \end{cases} \quad (22)$$

پارامتر γ به صورت زیر تعریف می‌شود.

$$\gamma = -c_1 y_2 - c_2 y_2^3 + (\beta + f \sin(\omega t))(\sin(y_1) - \sin(x_1)) \quad (23)$$

پارامتر $g(x_1, y_1)$ به صورت زیر تعریف می‌شود.

$$g(x_1, y_1) = \frac{(1 - \cos x_1)^2}{\sin^3 x_1} - \frac{(1 - \cos y_1)^2}{\sin^3 y_1} \quad (24)$$

$$\begin{aligned} L &= \frac{1}{2} I_1 (\dot{\theta}^2 + \dot{\phi}^2 \sin^2(\theta)) \\ &+ \frac{1}{2} I_3 (\dot{\phi} \cos(\theta) + \dot{\psi})^2 \\ &- M_g (l + \bar{l} \sin(\omega t) \cos(\theta)) \end{aligned} \quad (1)$$

I_1 و I_3 به ترتیب ممان‌های اینرسی قطبی^{۱۹} و استوایی^{۲۰} ژيروسکوپ متقارن، M_g نیروی گرانش زمین^{۲۱}، \bar{l} دامنه اغتشاش خارجی، ω فرکانس اغتشاش خارجی می‌باشند. با مشتق‌گیری از رابطه (۱) خواهیم داشت:

$$P_\phi = \frac{\partial L}{\partial \dot{\phi}} = I_1 \dot{\phi} \sin^2(\theta) \quad (2)$$

$$+ I_3 (\dot{\phi} \cos(\theta) + \dot{\psi}) \cos(\theta) \quad (3)$$

$$P_\phi = \beta_\phi \quad (4)$$

$$P_\psi = \frac{\partial L}{\partial \dot{\psi}} = I_3 (\dot{\phi} \cos(\theta) + \dot{\psi}) \quad (5)$$

$$P_\psi = I_3 \omega_z = \beta_\psi \quad (6)$$

که ω_z سرعت چرخش سیستم ژيروسکوپ است. با استفاده از روش روت^{۲۲} معادلات حرکت سیستم غیرخطی ژيروسکوپ تنها به زاویه θ بستگی خواهد داشت و به صورت زیر توصیف می‌گردد [۲۱]:

$$h(\theta) = \left[\frac{(\beta_{phi} - \beta_\psi \cos(\theta))^2}{2I_1 \sin^2(\theta)} \right] \quad (7)$$

$$+ \frac{\beta_{phi}^2}{2I_3} + M_g (l + \bar{l} \sin(\omega t)) \cos(\theta) \quad (8)$$

$$R = L - \beta_\phi \dot{\phi} - \beta_\psi \dot{\psi} = \frac{1}{2} I_1 \dot{\theta}^2 - h(\theta) \quad (9)$$

$$R = \frac{1}{2} I_1 \dot{\theta}^2 - h(\theta) \quad (10)$$

اگر $\theta = 0$ باشد آنگاه $\beta_\phi = \beta_\psi$ خواهد بود. نیروی فراکنش به صورت رابطه زیر توصیف می‌گردد:

$$F = -D_1 \dot{\theta} - D_2 \dot{\theta}^3 \quad (11)$$

که D_1 و D_2 مقادیر ثابت مثبت هستند. معادله حاکم بر حرکت سیستم غیرخطی ژيروسکوپ از رابطه زیر حاصل می‌گردد:

$$\frac{d}{dt} \left(\frac{\partial R}{\partial \dot{\theta}} \right) - \frac{\partial R}{\partial \theta} = F \quad (12)$$

معادله حاکم بر حرکت یک سیستم ژيروسکوپ متقارن با زاویه θ به صورت زیر بیان می‌شود:

$$\ddot{\theta} + \left(\frac{\beta_\phi}{I_1} \right)^2 \frac{(1 - \cos(\theta))^2}{\sin^3(\theta)} - \frac{M_g \bar{l}}{I_1} \sin(\theta) \quad (13)$$

$$+ \frac{D_1}{I_1} \dot{\theta} + \frac{D_2}{I_1} \dot{\theta}^3 = \frac{M_g \bar{l}}{I_1} \sin(\omega t) \sin(\theta) \quad (14)$$

بگذارید [۲۱]:

$$\alpha := \frac{\beta_\phi}{I_1} = \frac{I_3 \omega_z}{I_1}, \quad c_1 := \frac{D_1}{I_1}, \quad c_2 = \frac{D_2}{I_2}$$

$$\beta := \frac{M_g \bar{l}}{I_1}, \quad f := \frac{M_g \bar{l}}{I_1}$$

پس داریم:

²³ Damping

²⁴ Parametric excitation

²⁵ Master

¹⁹ Polar

²⁰ Equatorial

²¹ Gravity force

²² Routh

\hat{f} از بردار مجهولات θ_f^T و معلومات ζ_f تشکیل می‌شود. با فرض معلوم بودن وزن لایه اول W_1 خواهیم داشت:

$$\zeta_f = f_1(W_1^T X_{NN}) \quad (28)$$

که X_{NN} ورودی‌های شبکه عصبی می‌باشند. W_1 وزن لایه اول شبکه عصبی می‌باشد.

$$\frac{\partial O_2[K]}{\partial W_1[K]} = \frac{\partial O_2[K]}{\partial net_2[K]} \frac{\partial net_2[K]}{\partial O_1[K]} \frac{\partial O_1[K]}{\partial net_1[K]} \frac{\partial net_1[K]}{\partial W_1[K]} \quad (29)$$

در رابطه (۲۹) O_2 خروجی لایه دوم شبکه عصبی و W_1 وزن لایه اول می‌باشد. با استفاده از سری تیلور، برای تخمین تابع $f(x, \dot{x})$ از رابطه زیر حاصل می‌گردد:

$$\hat{f} = W_1^T \frac{\partial O_2}{\partial W_1} \quad (30)$$

با استدلال مشابه برای تخمین تابع $g(x, \dot{x})$ خواهیم داشت:

$$\hat{g} = \theta_d^T \zeta_g \quad (31)$$

\hat{g} تخمین تابع $g(x, \dot{x})$ می‌باشد. \hat{g} از بردار مجهولات θ_g^T و معلومات ζ_g تشکیل می‌شود.

$$\zeta_g = f_1(W_1^T X_{NN}) \quad (32)$$

با استفاده از سری تیلور، برای تخمین تابع $g(x, \dot{x})$ از رابطه زیر حاصل می‌گردد:

$$\hat{g} = W_1^T \frac{\partial O_2}{\partial W_1} \quad (33)$$

برای سیستم ارائه شده در رابطه (۲۰) سطح لغزشی به صورت زیر تعریف می‌شود:

$$s := \left(\frac{d}{dt} + \lambda \right)^{n-1} e \quad (34)$$

با توجه به سیستم ژيروسکوپ غیرخطی مرتبه دوم خواهیم داشت:

$$s = \left(\frac{d}{dt} + \lambda \right)^{2-1} e = \dot{e} + \lambda e \quad (35)$$

با مشتق‌گیری از رابطه (۳۵) داریم:

$$\dot{s} = -\rho \text{sign}(s) \rightarrow s\dot{s} = -\rho s \text{sign}(s) \quad (36)$$

که تابع $\text{sign}(s)$ به صورت زیر تعریف می‌شود:

$$\text{sign}(s) = \begin{cases} +1 & \text{if } s > 0 \\ -1 & \text{if } s \leq 0 \end{cases} \quad (37)$$

سیگنال کنترلی کنترل‌کننده مد لغزشی مبتنی بر شبکه عصبی دارای دو فاز رسش و لغزش می‌باشد. ساختار سیگنال کنترلی کنترل‌کننده مذکور به صورت زیر می‌باشد:

$$u := u_{eq} + u_{reach} \quad (38)$$

جایی که:

$$u_{eq} := \frac{1}{\hat{g}} [-\hat{f} + y_d^n - k_{n-1}e^{(n-1)} - k_{n-2}e^{(n-2)} + \dots + k_1\dot{e}], \quad (39)$$

$$u_{reach} := -\frac{\rho}{\hat{g}} \text{sign}(s). \quad (40)$$

با مشتق‌گیری از سطح لغزش خواهیم داشت:

$$\dot{s} = f + g(u) - y_d^n + k_{n-1}e^{n-1} + k_{n-2}e^{n-2} + \dots + k_1\dot{e} \quad (41)$$

با جمع و تفریق عبارت $\hat{g}(u)$ خواهیم داشت:

$$\dot{s} = f + g(u) + \hat{g}(u) - \hat{g}(u) - y_d^n + k_{n-1}e^{n-1} + k_{n-2}e^{n-2} + \dots + k_1\dot{e} \quad (42)$$

با جای‌گذاری قانون کنترلی و ساده‌سازی نتیجه می‌شود:

هدف این مقاله طراحی سیگنال کنترلی مناسب ورودی برای پایدارسازی مجانبی سیستم حلقه-بسته است؛ به عبارتی دیگر، خطاهای تعقیب $e_k(t)$ می‌بایست به صفر میل کند آنگاه متغیرهای حالت سیستم پیرو (۲۰) به متغیرهای حالت سیستم پیشرو (۱۵) همگرا می‌شود و خواهیم داشت:

$$\lim_{t \rightarrow \infty} (y_k(t) - x_k(t)) \rightarrow 0, \quad k = 1, 2 \quad (25)$$

۳- طراحی کنترل‌کننده

سیستم غیرخطی پیوسته با زمان به صورت زیر تعریف می‌شود:

$$\dot{x} = f(x) + g(x)u \quad (25)$$

در رابطه (۲۵) $f(x) \in R^n$ و $g(x) \in R^{n \times m}$ می‌باشد. سیستم غیرخطی ژيروسکوپ که یک سیستم مرتبه دوم می‌باشد به صورت زیر تعریف می‌شود:

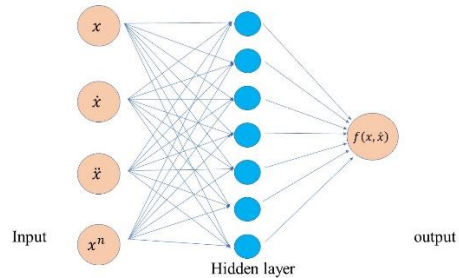
$$\ddot{x} = f(x, \dot{x}) + g(x, \dot{x})u \quad (26)$$

در این طرح کنترلی از قابلیت یادگیری شبکه عصبی برای تخمین^{۲۶} توابع $f(x, \dot{x})$ و $g(x, \dot{x})$ استفاده می‌شود. با به‌کارگیری دو شبکه عصبی مصنوعی، توابع $f(x, \dot{x})$ ، $g(x, \dot{x})$ سیستم ژيروسکوپ را تخمین زده می‌شود. در شبکه عصبی مذکور وزن‌های شبکه عصبی به قسمی تعیین می‌شوند که سیستم ژيروسکوپ پایدار باشد.

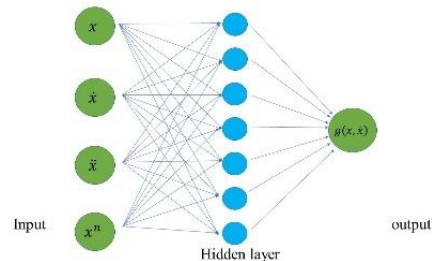
برای تخمین تابع $f(x, \dot{x})$ از یک شبکه عصبی پیشخور^{۲۷} استفاده می‌شود که خواهیم داشت:

$$\hat{f} = \theta_f^T \zeta_f \quad (27)$$

\hat{f} تخمین تابع $f(x, \dot{x})$ می‌باشد.



شکل ۱- بلوک دیاگرام تخمین تابع $f(x, \dot{x})$ با استفاده از شبکه عصبی



شکل ۲- بلوک دیاگرام تخمین تابع $g(x, \dot{x})$ با استفاده از شبکه عصبی

²⁶ Approximation

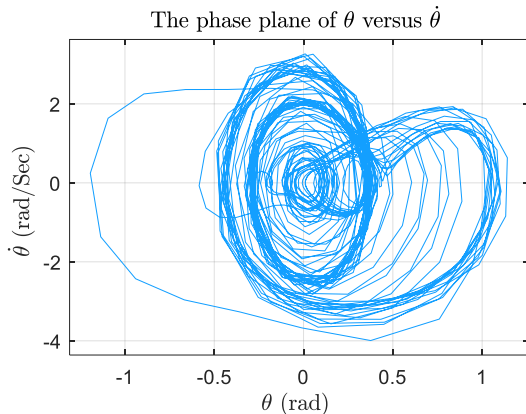
²⁷ Feed Forward

در صورتی که $\rho > 2\epsilon$ باشد. با توجه به شرایط مذکور وزن‌های شبکه عصبی مصنوعی به قسمی تنظیم می‌شوند که مشتق تابع لیاپانوف منفی و پایداری سیستم غیرخطی ژيروسکوپ تضمین می‌گردد.

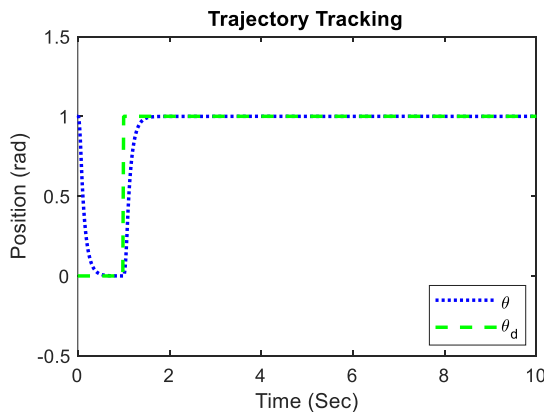
۴- نتایج

برای بررسی رفتار دینامیکی سیستم ژيروسکوپ و اثبات عملکرد مناسب کنترل‌کننده مد لغزشی مبتنی بر شبکه عصبی در کنترل سیستم غیرخطی ژيروسکوپ، مدل سیستم را در سیمولینک متلب شبیه‌سازی کرده و با کنترل‌کننده پیشنهادی، سیستم ژيروسکوپ کنترل می‌شود. در شکل ۳ رفتار آشوبناک سیستم ژيروسکوپ با اعمال ورودی پله با دامنه یک ولت به سیستم غیرخطی ژيروسکوپ، به‌ازای مقادیر $\beta = 1$, $c_1 = 0.5$, $\alpha^2 = 100$, $f = 35.5$, $c_2 = 0.05$ و $\omega = 2$ با شرایط اولیه $(x_1, x_2) = (1, -1)$ ترسیم می‌شود.

در شکل ۴ با اعمال ورودی پله واحد به مدل سیستم غیرخطی ژيروسکوپ، خروجی فرایند، سیگنال مرجع مطلوب را با زمان صعود^{۲۸} کم، سرعت و دقت بالا ردیابی می‌کند. در شکل ۵ خطای ردیابی در سیستم ژيروسکوپ کنترل شده با کنترل‌کننده مد لغزشی مبتنی بر شبکه عصبی ترسیم شده است که خطای حالت ماندگار سیستم به صفر میل می‌کند و از دقت همگرایی بالایی برخوردار می‌باشد.



شکل ۳- نمودار صفحه فاز در ژيروسکوپ آشوبناک



شکل ۴- نمودار ردیابی مسیر سیگنال مرجع ورودی با پله واحد

$$\dot{s} = f - \hat{f} + (g - \hat{g})u - \rho \text{sign}(s) \quad (43)$$

$\tilde{\theta}_f$ خطای تخمین تابع $f(x, \dot{x})$ و $\tilde{\theta}_g$ خطای تخمین تابع $g(x, \dot{x})$ می‌باشد فرض می‌کنیم یک شبکه عصبی ایده‌آل با خروجی شبکه عصبی بهینه و خطای تخمین کمینه $\tilde{\theta}_f$ و $\tilde{\theta}_g$ وجود دارد آنگاه روابط زیر برقرار خواهد بود:

$$f - f^* < \epsilon \quad (44)$$

$$g - g^* < \epsilon \quad (45)$$

$$f^* = \theta_f^{*T} \zeta_f \quad (46)$$

$$g^* = \theta_g^{*T} \zeta_g \quad (47)$$

که در روابط بالا f^* و g^* خروجی شبکه عصبی بهینه می‌باشند. ϵ مقدار ثابت بسیار کوچک می‌باشد. با جمع و تفریق عبارت f^* و g^* خواهیم داشت:

$$\dot{s} = f - f^* + f - \hat{f} + g^*u - g^*u + (g - \hat{g})u - \rho \text{sign}(s) \quad (48)$$

با ساده‌سازی عبارت فوق نتیجه می‌شود:

$$\dot{s} = (f - f^*) + (f - \hat{f}) + (g - g^*)u + (g^* - \hat{g})u - \rho \text{sign}(s) \quad (49)$$

داریم:

$$\dot{s} = 2\epsilon + (\theta_f^* - \theta_f)^T \zeta_f + (\theta_g^* - \theta_g)^T \zeta_g u - \rho \text{sign}(s) \quad (50)$$

تفاضل مقادیر θ_f^* و θ_f با $\tilde{\theta}_f$ و θ_g^* و θ_g با $\tilde{\theta}_g$ با نمایش داده می‌شود. مشتق سطح لغزش با رابطه زیر توصیف می‌شود:

$$\dot{s} = 2\epsilon + \tilde{\theta}_f^T \zeta_f + \tilde{\theta}_g^T \zeta_g u - \rho \text{sign}(s) \quad (51)$$

برای اثبات پایداری، تابع لیاپانوف را به‌صورت زیر در نظر می‌گیریم:

$$v = \frac{1}{2}s^2 + \frac{1}{2\gamma} \tilde{\theta}_f^T \tilde{\theta}_f + \frac{1}{2\gamma} \tilde{\theta}_g^T \tilde{\theta}_g \quad (52)$$

تابع لیاپانوف در رابطه (۵۲) مثبت معین می‌باشد. از رابطه (۵۲) نسبت به زمان مشتق می‌گیریم:

$$\dot{v} = s\dot{s} - \frac{1}{\gamma} \tilde{\theta}_f^T \dot{\tilde{\theta}}_f - \frac{1}{\gamma} \tilde{\theta}_g^T \dot{\tilde{\theta}}_g \quad (53)$$

با جای‌گذاری رابطه (۵۱) در رابطه (۵۳) خواهیم داشت:

$$\dot{v} = s \left(2\epsilon + \tilde{\theta}_f^T \zeta_f + \tilde{\theta}_g^T \zeta_g u - \rho \text{sign}(s) \right) - \frac{1}{\gamma} \tilde{\theta}_f^T \dot{\tilde{\theta}}_f - \frac{1}{\gamma} \tilde{\theta}_g^T \dot{\tilde{\theta}}_g \quad (54)$$

با ساده‌سازی رابطه (۵۴) خواهیم داشت:

$$\dot{v} = 2\epsilon s - s \rho \text{sign}(s) + \tilde{\theta}_f^T \left(s \zeta_f - \frac{1}{\gamma} \dot{\tilde{\theta}}_f \right) + \tilde{\theta}_g^T \left(s u - \frac{1}{\gamma} \dot{\tilde{\theta}}_g \right) \quad (55)$$

با در نظر گرفتن $s \times \text{sign}(s) = |s|$ خواهیم داشت:

$$\dot{v} \leq 2\epsilon |s| - \rho |s| + \tilde{\theta}_f^T \left(s \zeta_f - \frac{1}{\gamma} \dot{\tilde{\theta}}_f \right) + \tilde{\theta}_g^T \left(s u - \frac{1}{\gamma} \dot{\tilde{\theta}}_g \right) \quad (56)$$

خواهیم داشت:

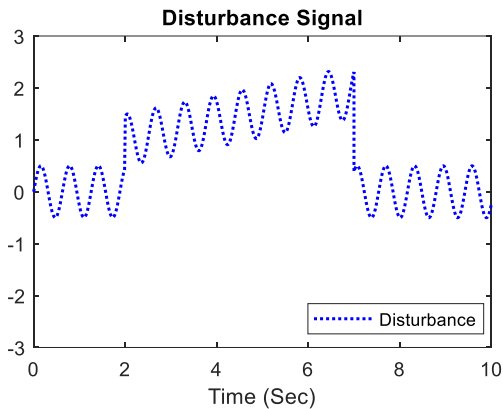
$$\dot{v} \leq 2\epsilon |s| - \rho |s| \quad (57)$$

طبق قانون تطبیق قوانین به‌روزرسانی وزن‌های شبکه عصبی به‌صورت زیر تعریف می‌شوند:

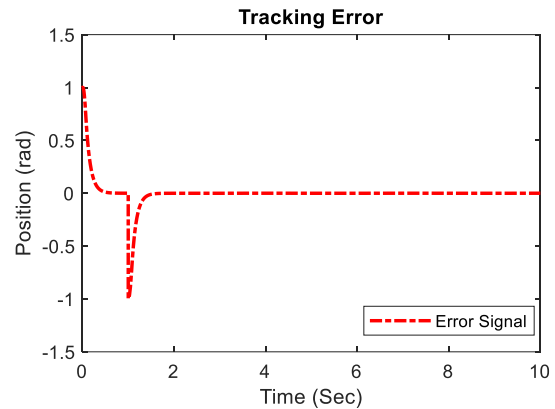
$$s \zeta_f - \frac{1}{\gamma} \dot{\tilde{\theta}}_f = 0 \rightarrow \dot{\tilde{\theta}}_f = \gamma s \zeta_f \quad (58)$$

$$s u - \frac{1}{\gamma} \dot{\tilde{\theta}}_g = 0 \rightarrow \dot{\tilde{\theta}}_g = \gamma s u \zeta_g \quad (59)$$

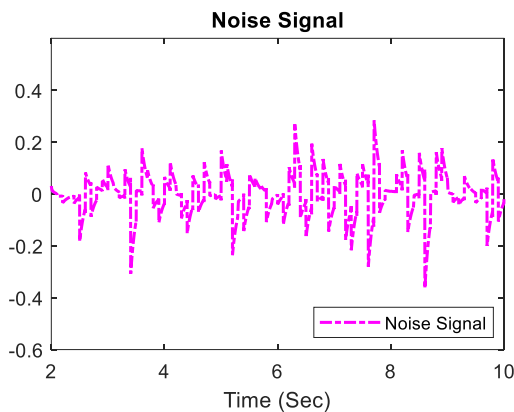
²⁸ Rise Time



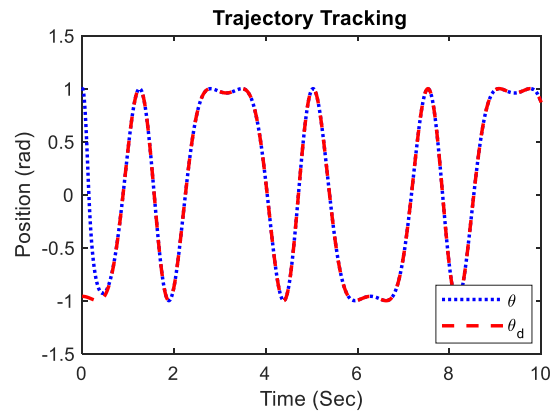
شکل ۷- سیگنال اغتشاش وارد بر سیستم بر حسب زمان



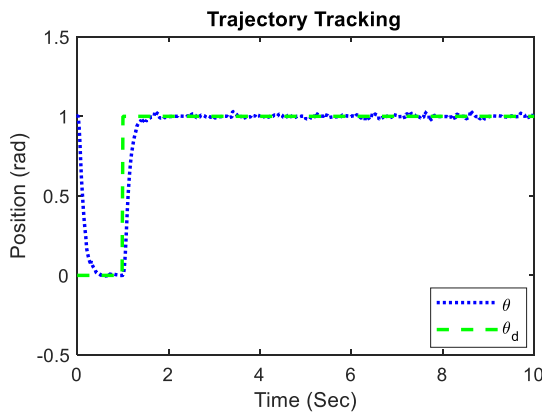
شکل ۵- نمودار خطای ردیابی در سیستم ژيروسکوپ



شکل ۸- سیگنال نویز بر حسب زمان



شکل ۶- نمودارهای ردیابی مسیر با سیگنال مرجع غیرخطی



شکل ۹- نمودار تأثیرات نویز و اغتشاش بر ردیابی مسیر سیگنال مرجع

مذکور داشته است. پاسخ ردیابی مسیر در کنترل کننده مد لغزشی مبتنی بر شبکه عصبی دارای دو مزیت می باشد. مزیت اول مقدار کمینه خطای حالت ماندگار سیستم و مزیت دوم پاسخ بدون نوسان می باشد.

۵- نتیجه گیری

اکثر سیستم ها در دنیای واقعی، دارای دینامیک غیرخطی می باشند و جلوگیری از اثرات مخرب نویز و اغتشاش های خارجی غیرقابل پیش بینی اجتناب ناپذیر می باشد. نامعینی های غیرخطی در دینامیک ژيروسکوپ و

در شکل ۶ نمودار ردیابی مسیر در سیستم غیرخطی ژيروسکوپ با کنترل کننده پیشنهادی را به ازای سیگنال مرجع غیرخطی $\sin(5\cos(t))$ ترسیم شده است.

در گام بعد برای بررسی مقاوم بودن طرح کنترلی پیشنهادی و بررسی تأثیر نویز و اغتشاش بر روی سیستم کنترلی، سیگنال های نویز و اغتشاشات وارد بر سیستم غیرخطی ژيروسکوپ را به مدل سیستم اعمال می کنیم. در شکل ۷ و ۸ سیگنال اغتشاش و نویز اعمال شده به مدل سیستم ترسیم می شود. با اعمال سیگنال های مخرب نویز و اغتشاشات به مدل سیستم ژيروسکوپ، در شکل ۹ نمودار ردیابی مسیر با سیگنال مرجع ورودی پله واحد برای بررسی مقاوم بودن کنترل کننده مد لغزشی مبتنی بر شبکه عصبی ترسیم شده است.

در شکل ۱۰ کنترل کننده مد لغزشی مبتنی بر شبکه عصبی با کنترل کننده های PI، PD، PID و PID مبتنی بر شبکه عصبی مقایسه می شود. کنترل کننده ای که از سرعت و دقت بیشتری برخوردار باشد و دارای خطای ردیابی مسیر کمتری باشد برای کنترل سیستم غیرخطی ژيروسکوپ مناسب تر خواهد بود.

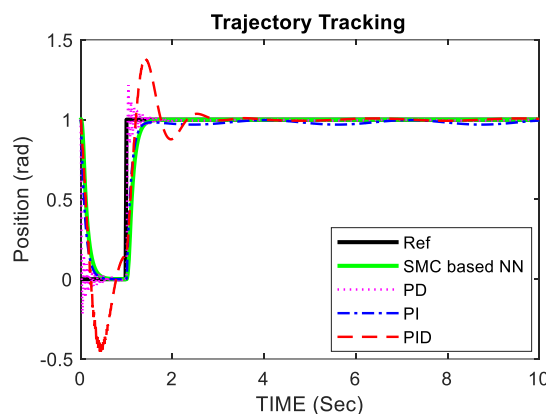
در شکل ۱۱ و ۱۲ مشخصات تحلیلی خطا، زمان صعود، زمان نشست، میزان حداکثر فراجهدش در کنترل کننده های مختلف در ردیابی مسیر سیگنال ورودی مرجع در سیستم ژيروسکوپ ترسیم شده است.

کنترل کننده مد لغزشی مبتنی بر شبکه عصبی دارای عملکرد مناسب تری در کنترل سیستم غیرخطی ژيروسکوپ نسبت به سایر کنترل کننده های

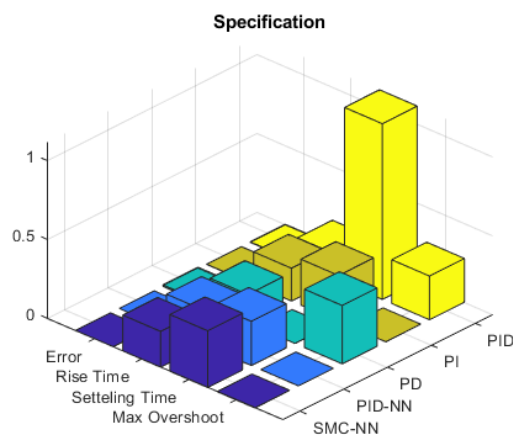
می‌شود. طرح کنترلی پیشنهادی نه تنها منجر به پایداری سیستم غیرخطی ژيروسکوپ گردید بلکه بدون استفاده از دینامیک سیستم عملکرد مطلوبی در حضور اغتشاشات خارجی و نویز ارائه نمود.

۶- مراجع

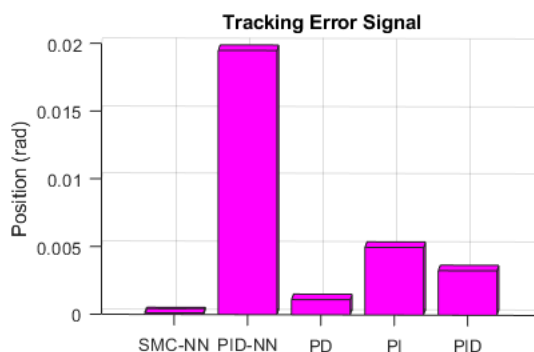
- [1] M. N. Armenise, C. Ciminelli, F. Dell'Olio, and V. M. N. Passaro, *Advances in gyroscope technologies*. Springer Science & Business Media, 2010.
- [2] V. M. N. Passaro, A. Cuccovillo, L. Vaiani, M. De Carlo, and C. E. Campanella, "Gyroscope technology and applications: A review in the industrial perspective," *Sensors*, vol. 17, no. 10, p. 2284, 2017.
- [3] Y. Lei, W. Xu, and H. Zheng, "Synchronization of two chaotic nonlinear gyros using active control," *Physics Letters A*, vol. 343, no. 1, pp. 153-158, 2005.
- [4] Z. M. Ge, H. K. Chen, and H. H. Chen, "The Regular And Chaotic Motions Of A Symmetric Heavy Gyroscope With Harmonic Excitation," *Journal of Sound and Vibration*, vol. 198, no. 2, pp. 131-147, 1996.
- [5] X. Tong and N. Mrad, "Chaotic motion of a symmetric gyro subjected to a harmonic base excitation," *J. Appl. Mech.*, vol. 68, no. 4, pp. 681-684, 2001.
- [6] L. Xue, C. Jiang, L. Wang, J. Liu, and W. Yuan, "Noise reduction of MEMS gyroscope based on direct modeling for an angular rate signal," *Micromachines*, vol. 6, no. 2, pp. 266-280, 2015.
- [7] J. Sun, S. Fan, H. Shi, W. Xing, C. Zhao, and C. Li, "Design and optimization of a resonant output frequency gyroscope for robust sensitivity and bandwidth performance," *Microsystem Technologies*, vol. 22, no. 10, pp. 2565-2586, 2016.
- [8] Z. Iskakov and K. Bissebayev, "The nonlinear vibrations of a vertical hard gyroscopic rotor with nonlinear characteristics," *Mechanical Sciences*, vol. 10, no. 2, pp. 529-544, 2019.
- [9] C. H. Miwadinou, A. V. Monwanou, L. A. Hinvi, A. A. Koukpedji, C. Ainamon, and J. B. C. Orou, "Melnikov Chaos in a Modified Rayleigh-Duffing Oscillator with ϕ_6 Potential," *International Journal of Bifurcation and Chaos*, vol. 26, no. 05, p. 1650085, 2016.
- [10] J. J. Yan, M.-L. Hung, and T. L. Liao, "Adaptive sliding mode control for synchronization of chaotic gyros with fully unknown parameters," *Journal of Sound and Vibration*, vol. 298, pp. 298-306, 2006.
- [11] M. Roopaei, M. Z. Jahromi, R. John, and T.-C. Lin, "Unknown nonlinear chaotic gyros synchronization using adaptive fuzzy sliding mode control with unknown dead-zone input," *Communications in Nonlinear Science and Numerical Simulation*, vol. 15, no. 9, pp. 2536-2545, 2010.
- [12] J. Montoya-Cháirez, V. Santibáñez, and J. Moreno-Valenzuela, "Adaptive control schemes applied to a control moment gyroscope of 2 degrees of freedom," *Mechatronics*, vol. 57, pp. 73-85, 2019.
- [13] V. Nekoukar and A. Erfanian, "Adaptive fuzzy terminal sliding mode control for a class of MIMO uncertain nonlinear systems," *Fuzzy Sets and Systems*, vol. 179, no. 1, pp. 34-49, 2011.
- [14] C. Wang, "Fractional-Order Sliding Mode Synchronization for Fractional-Order Chaotic Systems," *Advances in Mathematical Physics*, vol. 2018, p. 3545083, 2018.
- [15] B. Naderi, H. Kheiri, and A. Heydari, "Anti-Synchronization of Complex Chaotic T-System Via Optimal Adaptive Sliding-Mode and Its Application In Secure Communication," *International Journal of Industrial Mathematics*, vol. 10, no. 2, pp. 181-192, 2018.
- [16] H. Delavari, "A novel fractional adaptive active sliding mode controller for synchronization of non-identical chaotic systems with disturbance and uncertainty," *International Journal of Dynamics and Control*, vol. 5, no. 1, pp. 102-114, 2017.
- [17] K. Rabah and S. Ladaci, "A Fractional Adaptive Sliding Mode Control Configuration for Synchronizing Disturbed Fractional-Order Chaotic Systems," *Circuits, Systems, and Signal Processing*, vol. 39, no. 3, pp. 1244-1264, 2020.
- [18] B. Bourrouba and S. Ladaci, "Robust Fuzzy Adaptive Sliding Mode Stabilization for Fractional-Order Chaos," *Algorithms*, vol. 11, no. 7.
- [19] S. B. Fazeli Asl and S. S. Moosapour, "Fractional order fuzzy dynamic backstepping sliding mode controller design for triaxial MEMS gyroscope based on high-gain and disturbance observers," *IETE Journal of Research*, vol. 67, no. 6, pp. 799-816, 2021.
- [20] S. Ding, H. Li, C. Su, J. Yu, and F. Jin, "Evolutionary artificial neural networks: a review," *Artificial Intelligence Review*, vol. 39, no. 3, pp. 251-260, 2013.



شکل ۱۰- نمودار ردیابی مسیر در کنترل‌کننده‌های مختلف



شکل ۱۱- معیارهای کارایی با کنترل‌کننده‌های مختلف



شکل ۱۲- نمودار مقایسه‌ای خطا در ردیابی سیستم ژيروسکوپ

اغتشاش‌های خارجی غیرقابل‌پیش‌بینی، چالش بزرگ در طراحی کنترل‌کننده می‌باشد. شبکه‌های عصبی ابزار دقیق برای تخمین دینامیک غیرخطی با پارامترهای نامعین و توابع غیرخطی پیچیده می‌باشند. هدف اصلی از کنترل ژيروسکوپ، دستیابی به عملکرد مناسب سیستم در حضور نامعینی‌ها، نویز، اغتشاشات خارجی وارد بر سیستم می‌باشد. در این مقاله با استفاده از کنترل‌کننده مد لغزشی مبتنی بر شبکه عصبی، یک کنترل‌کننده بهینه برای کنترل سیستم غیرخطی ژيروسکوپ طراحی



- [21] H. K. Chen, "Chaos And Chaos Synchronization Of A Symmetric Gyro With Linear-Plus-Cubic Damping," *Journal of Sound and Vibration*, vol. 255, no. 4, pp. 719-740, 2002.